

## บทที่ 4

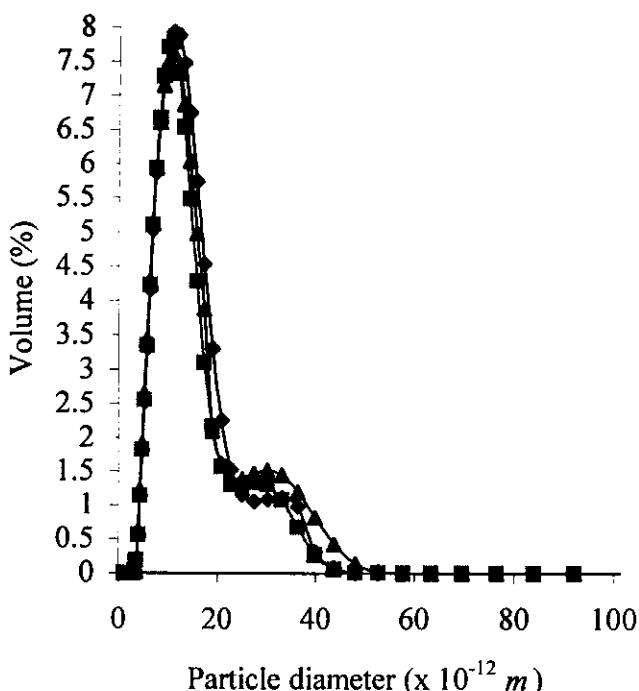
### ผลการทดลองและการอภิปราย

ในงานวิจัยนี้ได้แบ่งขั้นตอนในการทดลองเป็น 2 ส่วน คือการตรวจสอบสมบัติทางกายภาพของ PZT ที่ได้จากการเตรียมโดยวิธีปฏิกิริยาตรอง และการตรวจสอบสมบัติทางไฟฟ้า สำหรับการตรวจสอบสมบัติทางไฟฟ้า โดยใช้เครื่องมือต่างๆ และใช้วงจรไฟฟ้าที่ประกอบขึ้น (ภาพประกอบที่ 3.8) เพื่อใช้ในการวัดค่าความถี่เรโซแนนซ์และความถี่แอนดิเรโซแนนซ์ของ PZT

#### 1. การตรวจสอบสมบัติทางกายภาพของ PZT

##### 1.1 ขนาดอนุภาคของ PZT

ผลจากการใช้เทคนิคการวิเคราะห์ขนาดอนุภาคด้วยลำแสงเลเซอร์ ของผง PZT ที่ผ่านการเผาเคลือบในท่อ窑ที่อุณหภูมิ  $750^{\circ}\text{C}$  เป็นเวลา 4 ชั่วโมง แสดงดังภาพประกอบที่ 4.1

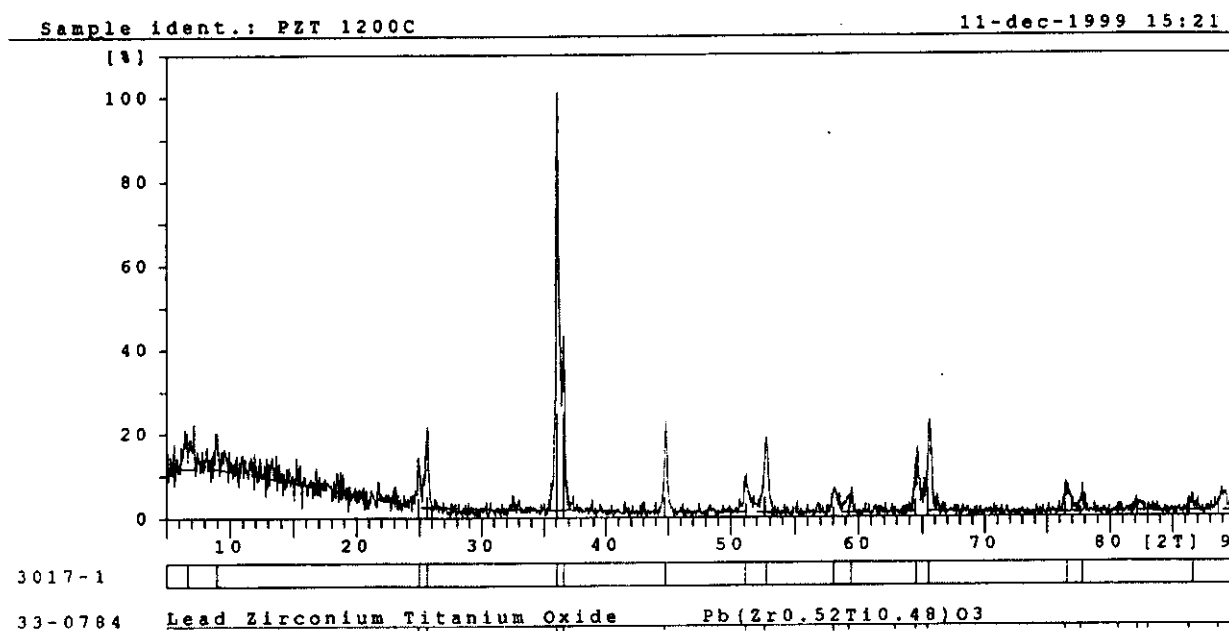


ภาพประกอบที่ 4.1 กราฟความสัมพันธ์ระหว่างปริมาตรกับขนาดอนุภาค

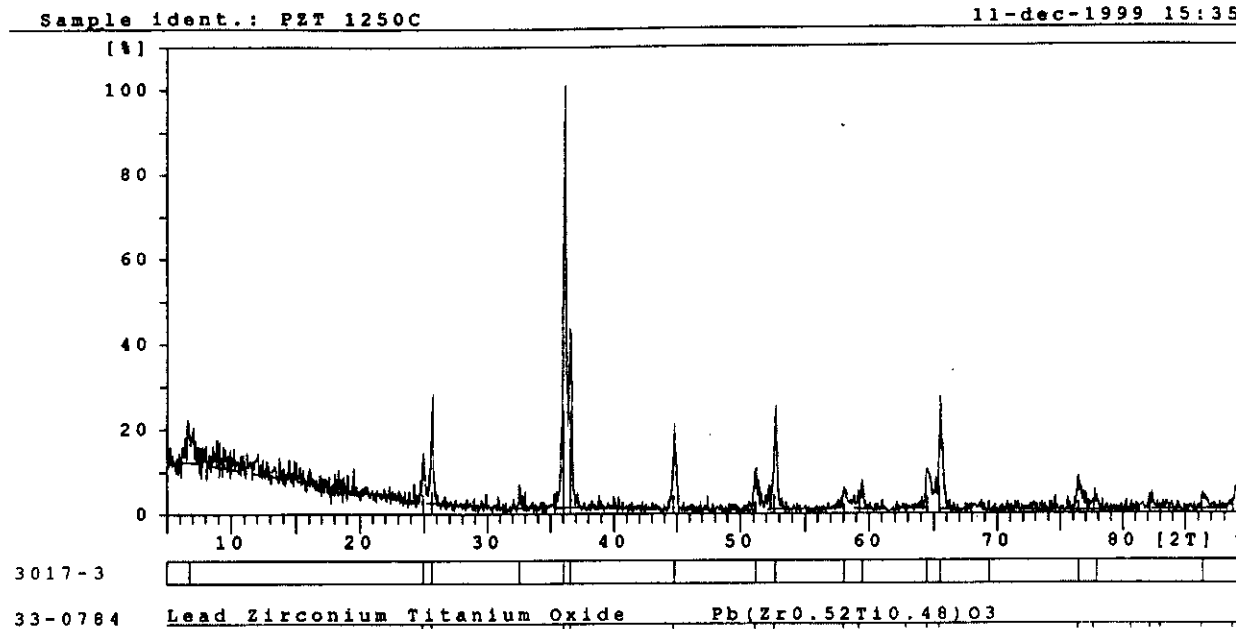
การวัดขนาดอนุภาคของ PZT ที่ผ่านการเผาเคลือบซึ่งที่ อุณหภูมิ  $750^{\circ}\text{C}$  เป็นเวลา 4 ชั่วโมง ทำการวัด 3 ครั้ง มีค่าขนาดอนุภาคอยู่ระหว่าง  $2.9 \text{ ถึง } 63.4 \mu\text{m}$  โดยมีขนาดอนุภาคเฉลี่ยเท่ากับ  $13.2 \mu\text{m}$  (ดูภาคผนวก (ก)) ซึ่งผลที่ได้จากการวิเคราะห์ขนาดอนุภาคนี้ค่าขนาดอนุภาคเฉลี่ยมีค่ามากนั้นก็เพราะของสารตัวอย่างมักจะเกิดการจับตัวกันเป็นกลุ่มก้อน ได้ง่ายขนาดอนุภาคค่อนข้างใหญ่ทั้งนี้อาจเป็นเพื่อการบดหลังจากการเผาเคลือบซึ่งใช้เวลาในการบดนานอยู่ไปและใช้ตะแกรงที่มีขนาดใหญ่เกินไป

## 1.2 ผลการตรวจสอบโครงสร้างของผลึก PZT

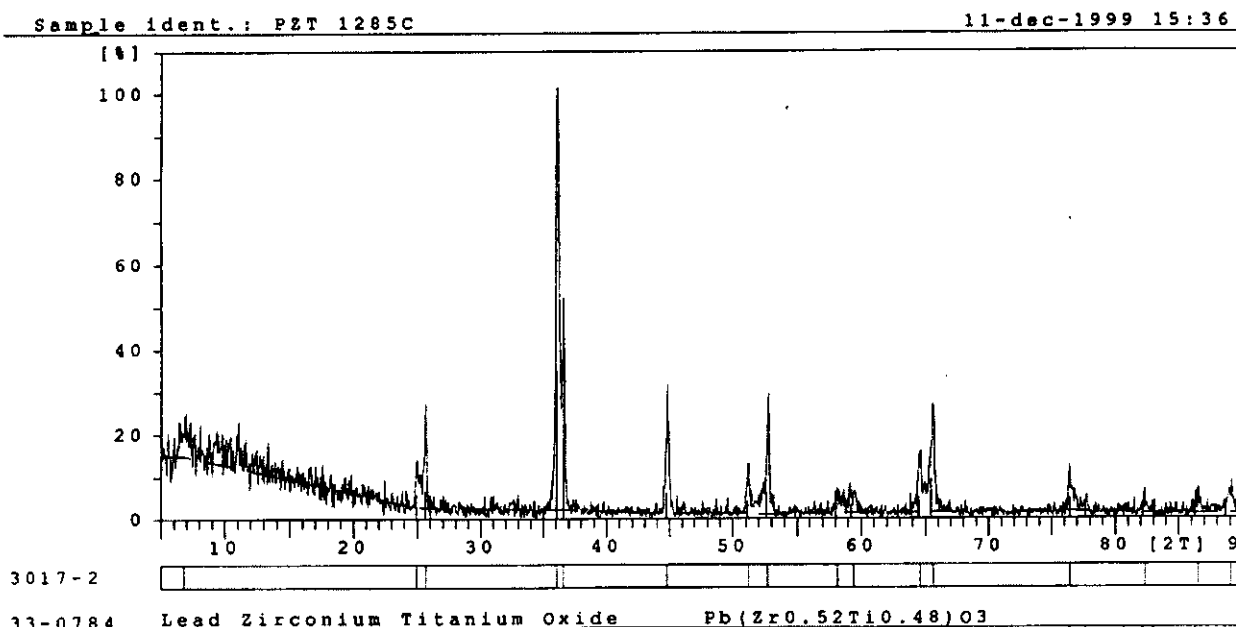
ใช้เทคนิควิธีการเลือบเวนของรังสีเอกซ์เพื่อตรวจสอบคุณภาพของทางเคมีและโครงสร้างผลึกของ PZT ที่ได้จากการเผาเคลือบปัจจุบันที่ อุณหภูมิ  $1200$ ,  $1250$  และ  $1285^{\circ}\text{C}$  ตามลำดับ และแสดงผลลัพธ์การเลือบเวน (diffraction pattern) ดังภาพประกอบที่ 4.2, 4.3 และ 4.4 ตามลำดับ



ภาพประกอบที่ 4.2 ลวดลายการเลือบเวนของ PZT เมื่ออบผนึกที่  $1200^{\circ}\text{C}$  เป็นเวลา 1 ชั่วโมง



ภาพประกอบที่ 4.3 ลวดลายการเลี้ยวเบนของผง PZT เมื่อบาบผนังกีที่ 1250 °C เป็นเวลา 1 ชั่วโมง



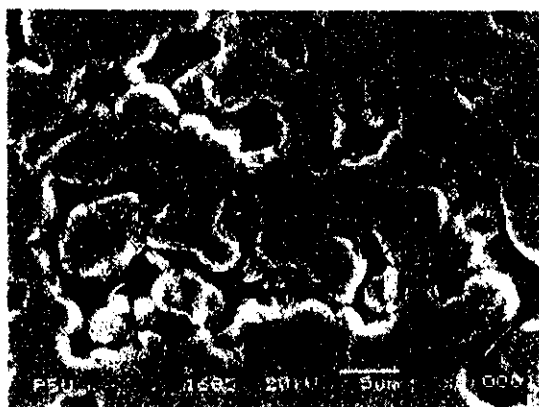
ภาพประกอบที่ 4.4 ลวดลายการเลี้ยวเบนของผง PZT เมื่อบาบผนังกีที่ 1285 °C เป็นเวลา 1 ชั่วโมง

การเตรียม PZT จากการบดผสมแบบปฏิริยาตรึง ผงของ PbO ZrO<sub>2</sub> และ TiO<sub>2</sub> และอบผนังกีที่ อุณหภูมิ 1200 1250 และ 1285 °C เป็นเวลา 1 ชั่วโมง ตรวจสอบค่าความขาวโครงสร้าง และเพส

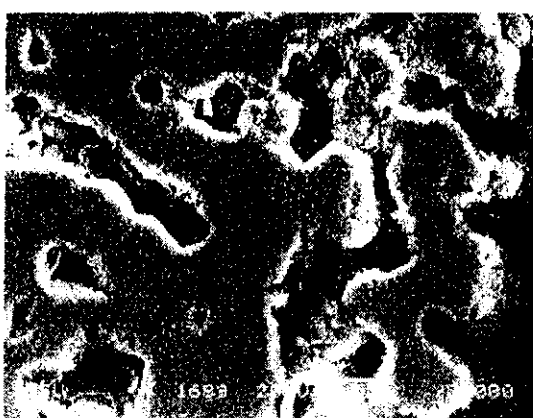
โครงสร้างของ PZT ที่ผ่านกระบวนการอบผนึกที่อุณหภูมิ 1200 1250 และ 1250 °C ตามลำดับ โดยเทคนิควิธีเลี้ยงบนของรังสีเอกซ์และโดยนำผลเมื่อบผนึกที่ของผง PZT ที่ได้จากการอบผนึกทั้ง 3 อุณหภูมิ มาเปรียบเทียบกับค่ามาตรฐาน JCPDF หมายเลข 33-0784 พบว่า PZT ที่เตรียมได้มีเฟสโครงสร้างผลึกแบบเพอร์อฟสไกท์ เตตระ โගโนล มีค่าความข้าวของผลึก ดังแสดงในภาคผนวก (ข) และมีสูตรโครงสร้างทางเคมีคือ  $Pb(Zr_{0.52}Ti_{0.48})O_3$  ซึ่งเป็น PZT อัตราส่วนที่บริเวณ MPB

### 1.3 โครงสร้างจุลภาค

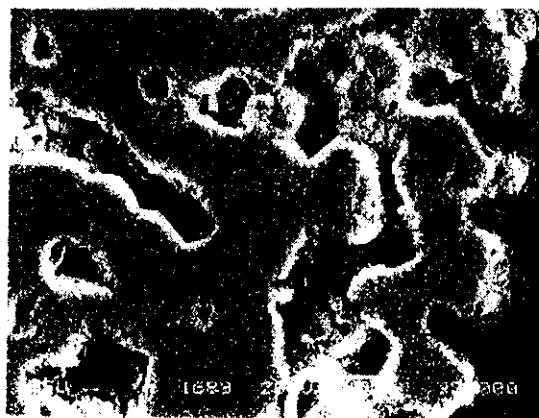
ตรวจสอบขนาดเกรนของ PZT ผ่านกระบวนการอบผนึกที่อุณหภูมิ 1200 1250 และ 1285 °C เป็นเวลา 1 ชั่วโมง ตามลำดับ โดยอาศัยภาพถ่าย SEM แสดงดังภาพประกอบที่ 4.5 4.6 และ 4.7 ตามลำดับ



ภาพประกอบที่ 4.5 แสดงลักษณะเกรน ของ PZT อบผนึกที่ 1200 °C เป็นเวลา 1 ชั่วโมง



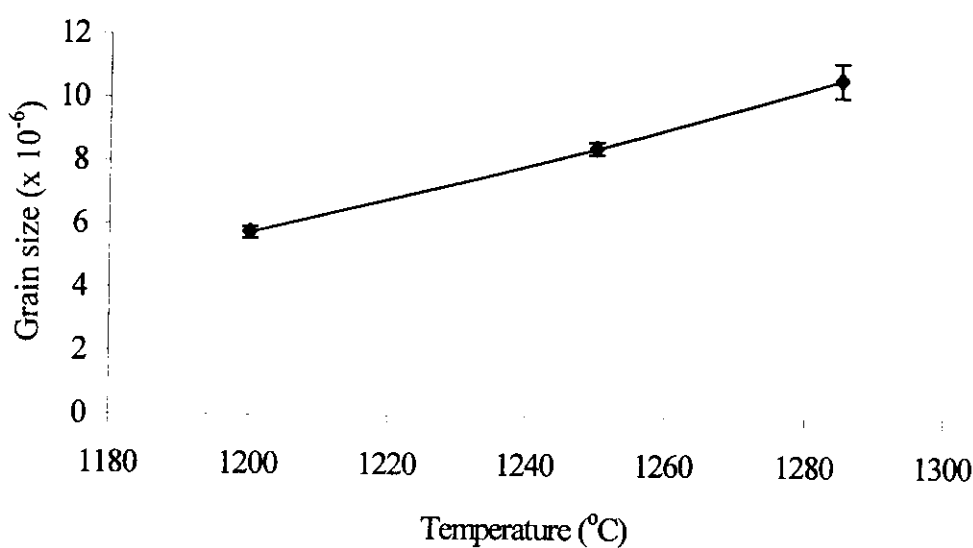
ภาพประกอบที่ 4.6 แสดงลักษณะเกรน ของ PZT อบผนึกที่ 1250 °C เป็นเวลา 1 ชั่วโมง



ภาพประกอบที่ 4.7 แสดงลักษณะเกรน ของ PZT อบพนีกที่  $1285\text{ }^{\circ}\text{C}$  เป็นเวลา 1 ชั่วโมง

#### 1.4 ค่าขนาดเกรน

โดยใช้วิธีลากเส้นตรงบนภาพถ่ายนับจำนวนเกรนที่เส้นตรงตัดผ่านและเมื่อนำจำนวนเกรนไปหารความยาวของเส้นนั้นก็จะได้ขนาดเกรน ซึ่งแสดงค่าความสัมพันธ์ดังภาพประกอบที่ 4.8



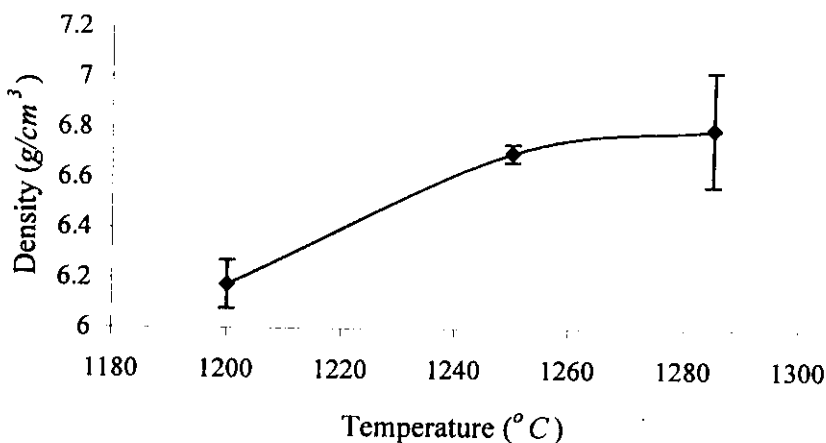
ภาพประกอบที่ 4.8 แสดงความสัมพันธ์ระหว่างขนาดเกรนกับอุณหภูมิอบพนีก

ค่าขนาดเกรนซึ่งแสดงในภาพประกอบที่ 4.8 เมื่อพิจารณาลักษณะ Graf พบว่าค่าขนาดเกรนเพิ่มขึ้นเมื่ออุณหภูมิอบพนีกสูงขึ้นเป็นเพราะอะตอนบริเวณเส้นแบ่งเกรน ได้รับพลังงานความร้อนซึ่ง

เกิดการแพร่ผ่านเส้นแบ่งเกรน ไปร่วมกับเกรนที่มีขนาดใหญ่กว่าจึงทำให้เกิดการขยายตัวของเกรน ซึ่งสอดคล้องกับงานของ Millar และคณะ(1995) ซึ่งขนาดเกรนมีค่ามากที่สุดเมื่อเผาอบพนีกที่  $1285^{\circ}\text{C}$  คือ  $10.65 \mu\text{m}$  ซึ่งค่าขนาดเกรนที่วัดได้มีค่าน้อย เพราะในการเขียนรูปใช้แรงอัดเพียง 1 ตันและเวลาที่ใช้ในการเผา เช่น สำหรับการอบพนีก 1 ชั่วโมง ซึ่งปัจจัยทั้งสองอย่างนี้เป็นปัจจัยที่สำคัญสำหรับการติดของขนาดเกรน

### 1.5 ค่าความหนาแน่น

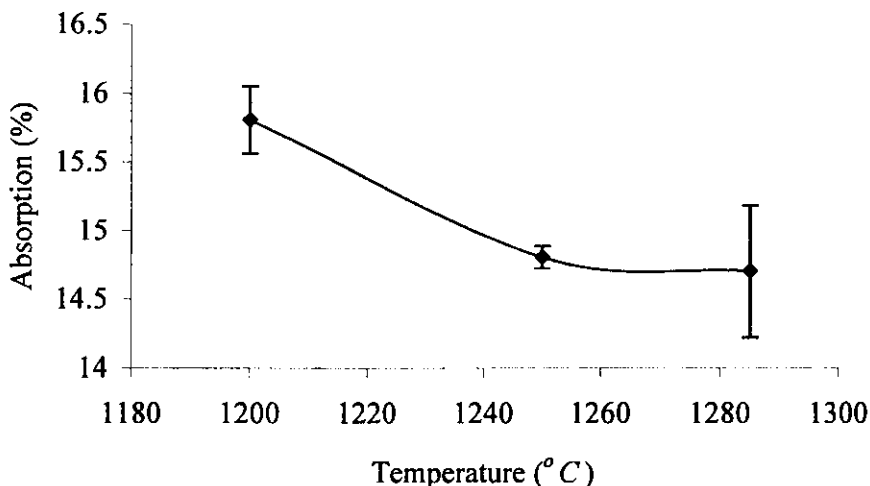
ตรวจสอบค่าความหนาแน่นของ PZT เมื่อผ่านกระบวนการอบพนีกที่อุณหภูมิต่างๆ โดยอาศัยหลักการของอะคิมีดีส และคำนวณค่าความหนาแน่นโดยสมการที่ (3.3) ซึ่งแสดงผลของค่าความหนาแน่นที่ได้ดังภาพประกอบที่ 4.9



ภาพประกอบที่ 4.9 แสดงความสัมพันธ์ระหว่างความหนาแน่นกับอุณหภูมิอบพนีก

### 1.6 ค่าเบอร์เซ่นต์การดูดซึมน้ำ

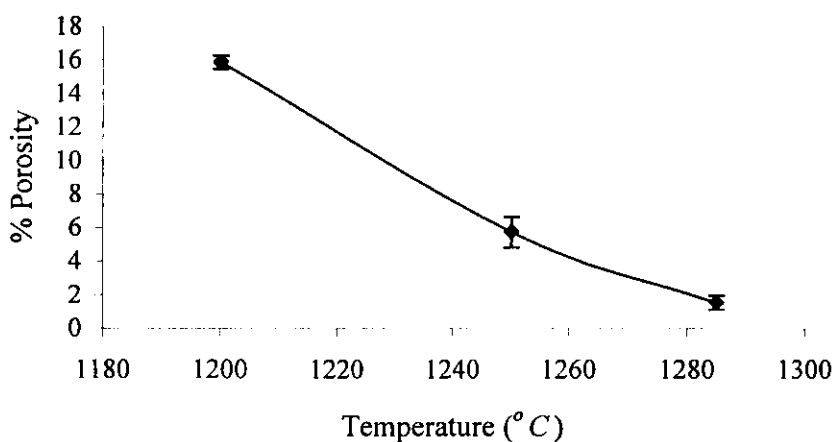
คำนวณค่าเบอร์เซ่นต์การดูดซึมน้ำของ PZT ที่ผ่านการอบพนีกที่อุณหภูมิต่างๆ โดยใช้สมการที่ (3.4) ในการคำนวณหาค่า ซึ่งค่าที่ได้แสดงดังภาพประกอบที่ 4.10



ภาพประกอบที่ 4.10 แสดงความสัมพันธ์ระหว่างค่าเบอร์เซ็นต์การดูดซึมน้ำกับอุณหภูมิอบพนีก

### 1.7 ค่าเบอร์เซ็นต์ความพรุน

คำนวณค่าเบอร์เซ็นต์ความพรุนตัวของ PZT ที่ผ่านการอบพนีก ที่อุณหภูมิต่างๆ โดยใช้สมการที่ (3.5) ในการคำนวณหาค่า ซึ่งค่าที่ได้แสดงดังภาพประกอบที่ 4.11



ภาพประกอบที่ 4.11 แสดงความสัมพันธ์ระหว่างค่าเบอร์เซ็นต์ความพรุนกับอุณหภูมิอบพนีก

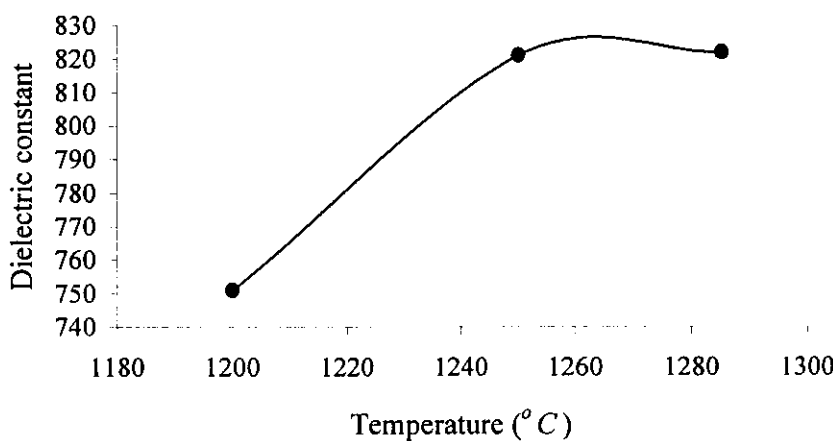
จากการหาค่าความหนาแน่น เปอร์เซ็นต์การคุดซึ่มน้ำ และเปอร์เซ็นต์ความพรุนของ PZT โดยใช้หลักการของอะคิมีเดส พนว่าความสัมพันธ์ระหว่างอุณหภูมิกับเวลาในการอบผนึกมีความ ความสัมพันธ์กัน คือเมื่ออุณหภูมิกับเวลาในการเผาอบผนึกเพิ่มขึ้นค่าความหนาแน่นของ PZT ก็เพิ่ม ขึ้น โดยขณะที่เปอร์เซ็นต์การคุดซึ่มน้ำ และเปอร์เซ็นต์ความพรุนของ PZT มีขนาดลดลงทั้งนี้ เพราะ ว่าการใช้อุณหภูมิในการอบผนึกสูงจะทำให้อุณหภูมิกัดการลดลงรวมกันเข้าแทรกในที่ว่างจนเต็มจัง ทำให้ค่าเปอร์เซ็นต์การคุดซึ่มน้ำและความพรุนมีค่าลดลงซึ่งสอดคล้องกับงานวิจัยของ Millar และ คณะ(1995) Lee และคณะ(1999) Kong และ Ma (2001)

จากการตรวจสอบสมบัติทางกายภาพโดยเฉพาะค่าความหนาแน่น และขนาดเกรนของ PZT ที่ได้รับมาได้ พนว่า PZT เหมาะสำหรับการใช้งานทางไฟฟ้าและอิเล็กทรอนิกส์ (Randeraat และ Setterington, 1974) ; (Uchino, 2000) และ (Setter, 2002)

## 2. การตรวจสอบสมบัติทางไฟฟ้าของ PZT

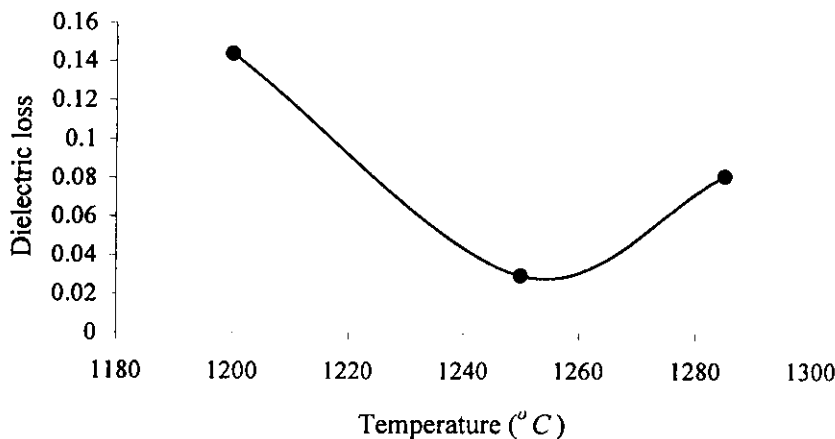
### 2.1 ค่าคงที่ไดอิเล็กทริก

วัดค่าไดอิเล็กทริกของ PZT ที่ผ่านการอบผนึกที่อุณหภูมิต่างๆ โดยการวัดขนาดความจุไฟ ฟ้าของ PZT ที่ความถี่ 1 kHz นำไปคำนวณค่าคงที่ไดอิเล็กทริก โดยใช้สมการที่ (3.6) และได้กราฟ ความสัมพันธ์ดังแสดงในภาพประกอบที่ 4.12

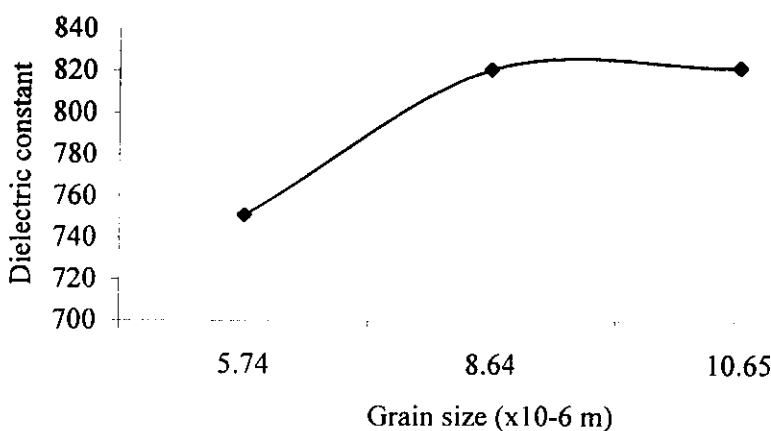


ภาพประกอบที่ 4.12 แสดงความสัมพันธ์ระหว่างค่าคงที่ไดอิเล็กทริกกับอุณหภูมิอบผนึก

ค่าการสูญเสียโดยอิเล็กทริกวัดที่  $1\text{ kHz}$  ค่านี้สามารถวัดได้จากเครื่อง RCL meter โดยตรง นำค่าที่ได้เขียนเป็นกราฟความสัมพันธ์กับอุณหภูมิอบพนีกดังภาพประกอบที่ 4.13



ภาพประกอบที่ 4.13 แสดงความสัมพันธ์ระหว่างค่าการสูญเสียโดยอิเล็กทริกกับอุณหภูมิอบพนีก



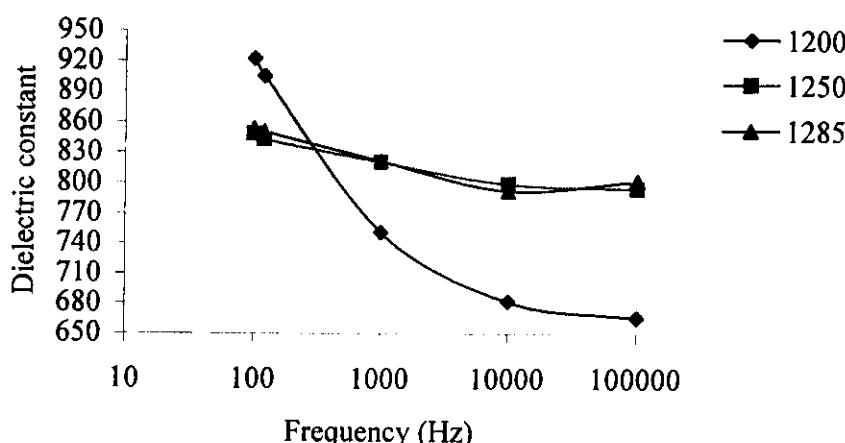
ภาพประกอบที่ 4.14 แสดงความสัมพันธ์ระหว่างค่าคงที่โดยอิเล็กทริกกับขนาดเกรน

จากการประกอบที่ 4.12 4.13 และ 4.14 แสดงความสัมพันธ์ระหว่างค่าคงที่โดยอิเล็กทริก ค่าการสูญเสียโดยอิเล็กทริก และขนาดเกรนกับอุณหภูมิอบพนีกต่างๆ วัดที่ความถี่  $1\text{ kHz}$  พบว่าค่าคงที่โดยอิเล็กทริกและค่าขนาดเกรนมีค่าเพิ่มขึ้นเมื่ออุณหภูมิอบพนีกเพิ่มขึ้น เพราะว่าเมื่อใช้อุณหภูมิอบ

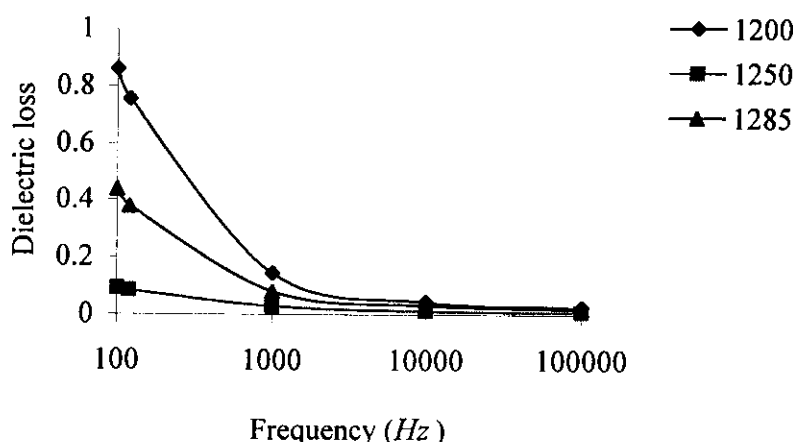
ผนึกสูงขึ้นค่าความหนาแน่นของสารก็จะมีค่ามากขึ้น ส่งผลให้ค่าคงที่ไดอิเล็กทริกและขนาดเกรณมีค่ามากขึ้น แต่สำหรับค่าการสูญเสียไดอิเล็กทริกมีค่าลดลงเมื่ออุณหภูมิอบผนึกเพิ่มขึ้น

### 2.1.1 ค่าคงที่ไดอิเล็กทริกและค่าการสูญเสียไดอิเล็กทริกที่ความถี่ต่างๆ

การตรวจสอบค่าคงที่ไดอิเล็กทริกที่ความถี่ต่างๆ และค่าการสูญเสียไดอิเล็กทริกกับความถี่แสดงดังภาพประกอบที่ 4.15 และ 4.16



ภาพประกอบที่ 4.15 แสดงความสัมพันธ์ระหว่างค่าคงที่ไดอิเล็กทริกกับความถี่

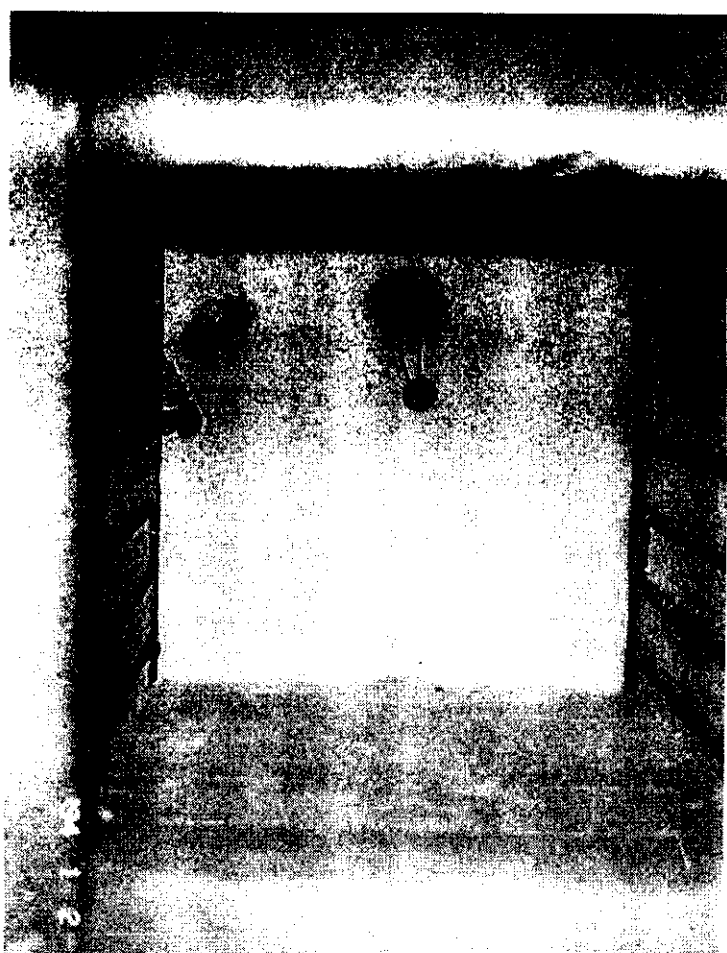


ภาพประกอบที่ 4.16 แสดงความสัมพันธ์ระหว่างค่าการสูญเสียไดอิเล็กทริกความถี่

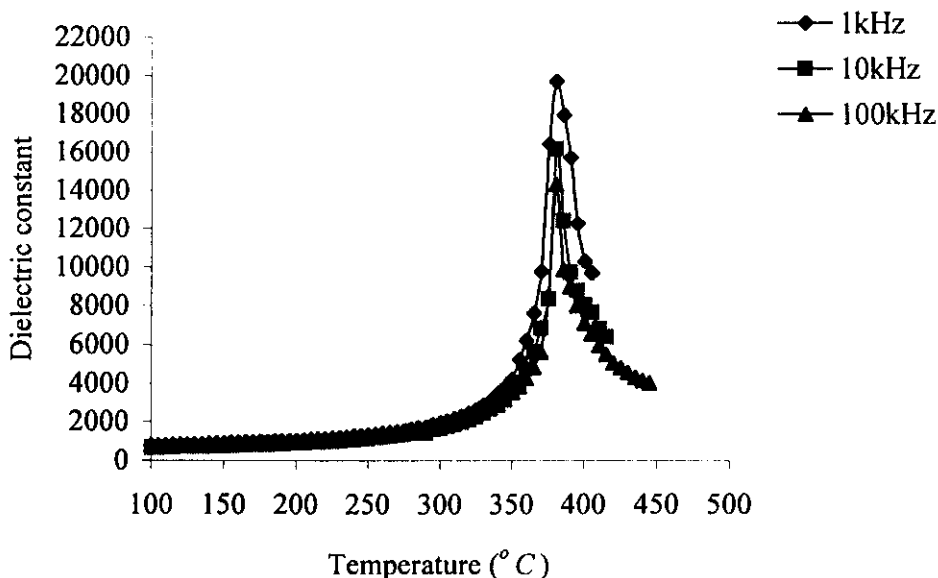
จากภาพประกอบที่ 4.15 และ 4.16 แสดงความสัมพันธ์ระหว่างค่าคงที่โดยอิเล็กทริกและค่าการสูญเสีย โดยอิเล็กทริกกับความถี่ พนว่าเมื่อความถี่มีค่าเพิ่มขึ้นค่าคงที่โดยอิเล็กทริกและการสูญเสีย โดยอิเล็กทริกมีค่าลดลง เพราะเมื่อค่าความถี่สูงขึ้นทำให้ขั้วคู่ไฟฟ้าภายในเนื้อสารเกิดการเคลื่อนที่ทำให้ชนกับอะตอมข้างเคียงทำให้พลังงานไฟฟ้าสูญเสียไปในรูปของความร้อนซึ่งพลังงานที่สูญเสียไป แปรผันตรงกับความถี่ ดังนั้นมีปัจฉนสัญญาณไฟฟ้าที่มีค่าความถี่สูงเข้าไปในสารโดยอิเล็กทริกจะทำให้ค่าคงที่โดยอิเล็กทริกและการสูญเสียโดยอิเล็กทริกลดลง

### 2.1.2 ค่าคงที่โดยอิเล็กทริกเป็นฟังก์ชันกับอุณหภูมิ

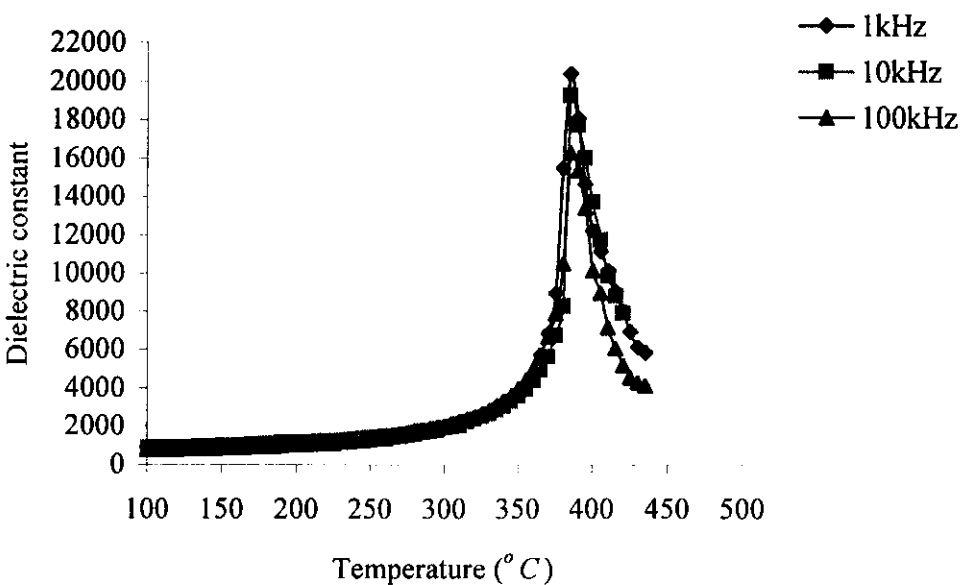
การตรวจค่าคงที่โดยอิเล็กทริกที่อุณหภูมิต่างๆ โดยว่างลักษณะสารตัวอย่างในเตาควบคุมอุณหภูมิแสดงดังภาพประกอบที่ 4.17 และผลจากการวัดแสดงดังภาพประกอบที่ 4.18-4.20



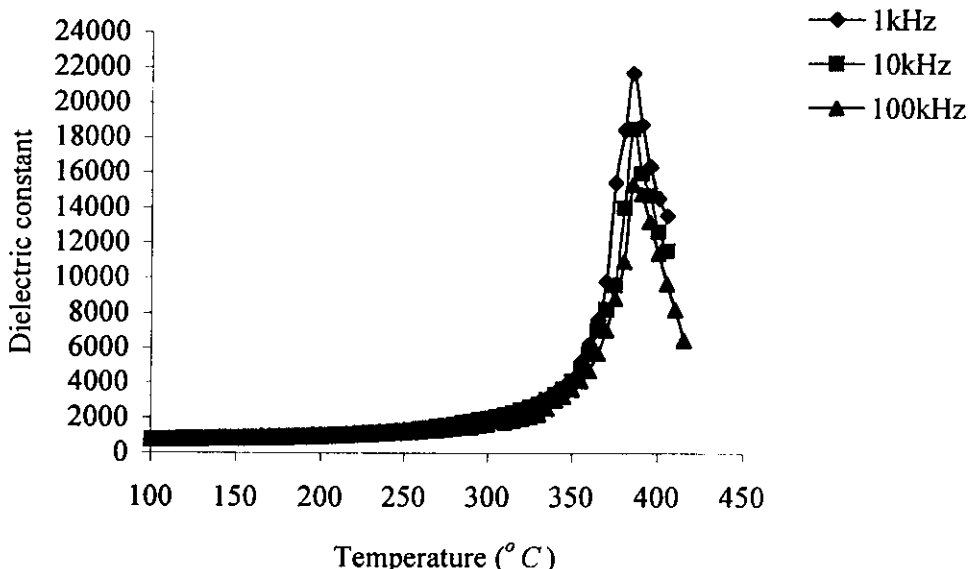
แสดงดังภาพประกอบที่ 4.17 แสดงลักษณะการจัดวางสารตัวอย่างภายในเตาควบคุมอุณหภูมิ



ภาพประกอบที่ 4.18 แสดงความสัมพันธ์ระหว่างค่าคงที่ไดอิเล็กทริกกับอุณหภูมิของ PZT ที่อบผนึกที่  $1200\text{ }^{\circ}\text{C}$  เป็นเวลา 1 ชั่วโมง มีอุณหภูมิครี 380  $^{\circ}\text{C}$



ภาพประกอบที่ 4.19 แสดงความสัมพันธ์ระหว่างค่าคงที่ไดอิเล็กทริกกับอุณหภูมิของ PZT ที่อบผนึกที่  $1250\text{ }^{\circ}\text{C}$  เป็นเวลา 1 ชั่วโมง มีอุณหภูมิครี 385  $^{\circ}\text{C}$

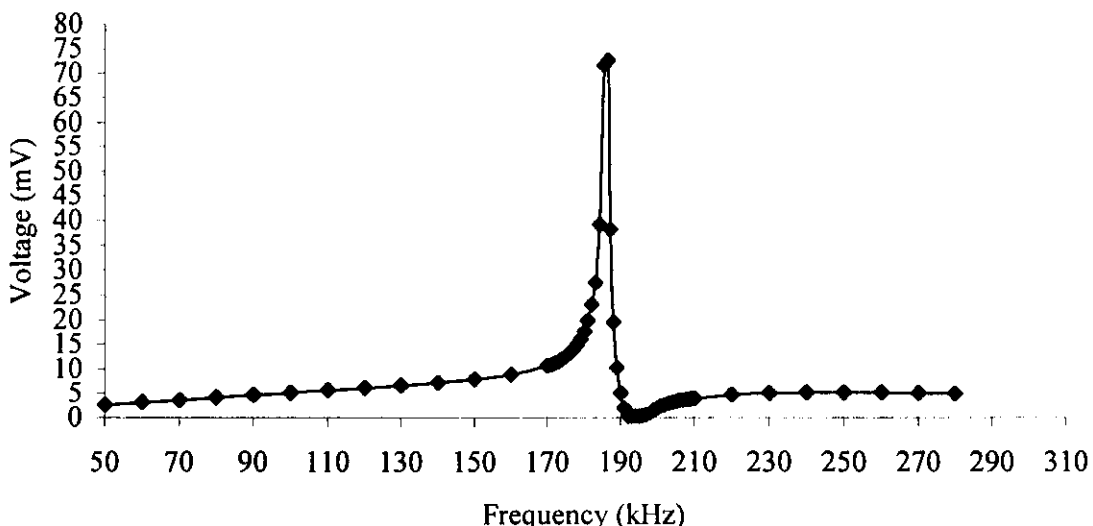


ภาพประกอบที่ 4.20 แสดงความสัมพันธ์ระหว่างค่าคงที่ไดอิเล็กทริกกับอุณหภูมิของ PZT ที่อบผนึกที่  $1285^{\circ}\text{C}$  เป็นเวลา 1 ชั่วโมง มีอุณหภูมิครูรี  $385^{\circ}\text{C}$

การตรวจสอบความสัมพันธ์ระหว่างค่าคงที่ไดอิเล็กทริกกับอุณหภูมิของ PZT พบว่าเมื่อค่าอุณหภูมิเพิ่มขึ้นจะทำให้ค่าคงที่ไดอิเล็กทริกมีค่าเพิ่มขึ้นและเพิ่มขึ้นสูงสุดเมื่ออุณหภูมนี้ค่าเท่ากับอุณหภูมิครูรีของ PZT ซึ่งอุณหภูมิครูรีของ PZT ที่ได้จากการเตรียมโดยวิธีปฏิกริยาตรงและอบผนึกที่อุณหภูมิ  $1200$   $1250$  และ  $1285^{\circ}\text{C}$  เป็นเวลา 1 ชั่วโมง มีค่าเท่ากับ  $380$   $385$  และ  $385^{\circ}\text{C}$  ตามลำดับ จากนั้นเมื่อเพิ่มอุณหภูมิสูงขึ้นอีกค่าคงที่ไดอิเล็กทริกมีค่าลดลงซึ่งเป็นไปตามกฎของ Curie-Weiss (IEEE, 176-1987) และเมื่อเปลี่ยนแปลงค่าความถี่ที่ใช้ในการวัดค่าคงที่ไดอิเล็กทริกโดยจะใช้ค่าความถี่ที่  $1$   $10$  และ  $100\text{ kHz}$  ค่าคงที่ไดอิเล็กทริกที่ได้มีค่าลดลงเมื่อค่าความถี่มีค่าสูงขึ้น ดังกล่าวในหัวข้อ 2.1.1 ซึ่งสอดคล้องกับงานวิจัยของ Rao และคณะ (1996) Jin และคณะ (1997) Abootho และคณะ (1999) Kong และคณะ (2000) และ Las และคณะ (2001)

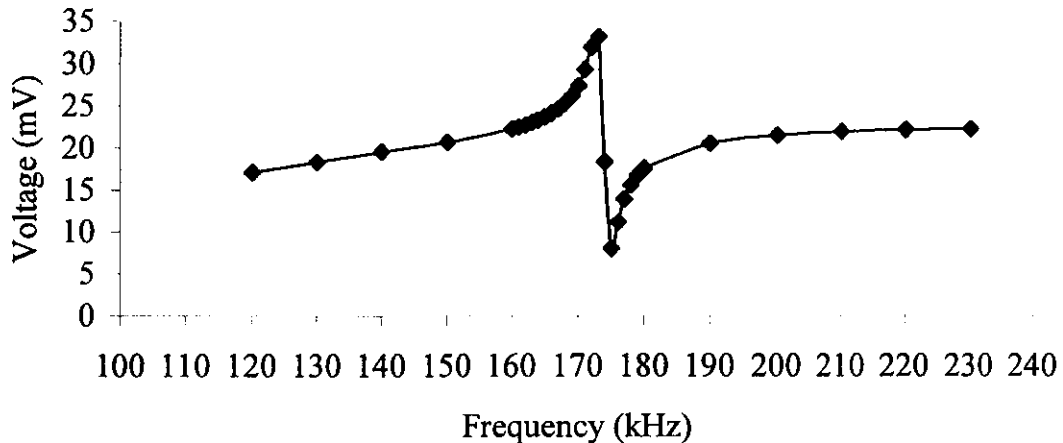
## 2.2 ค่าความถี่เรโซแนนซ์และแอนติเรโซแนนซ์

ตรวจสอบวงจรในภาพประกอบที่ 3.8 โดยใช้ PZT ผลิตภัณฑ์ทำการค้า PKI 402 โดยวัดค่าความถี่เรโซแนนซ์และแอนติเรโซแนนซ์ของ PKI 402 การตรวจสอบค่าความถี่เรโซแนนซ์และแอนติเรโซแนนซ์ทำโดยให้สัญญาณไฟฟ้าขนาดต่างๆ กับ PKI 402 ที่เป็นผลิตภัณฑ์ทำการค้า แล้ววัดค่าความต่างศักย์ที่เกิดขึ้นแล้วนำค่าความต่างศักย์และค่าความถี่ เขียนเป็นกราฟความสัมพันธ์แสดงดังภาพประกอบที่ 4.20 คำนวณค่าคงที่ทางไฟฟ้าต่างๆ โดยใช้สมการดังกล่าวในหัวข้อ 5.5 และเปรียบเทียบค่าดังแสดงในภาคผนวก (ค) ซึ่งค่าที่คำนวณได้มีความคล้ายคลึงกันมากดังนั้นจึงใช้วงจรดังกล่าวในการวัดค่าความถี่เรโซแนนซ์และแอนติเรโซแนนซ์ของ PZT ที่เตรียมขึ้น

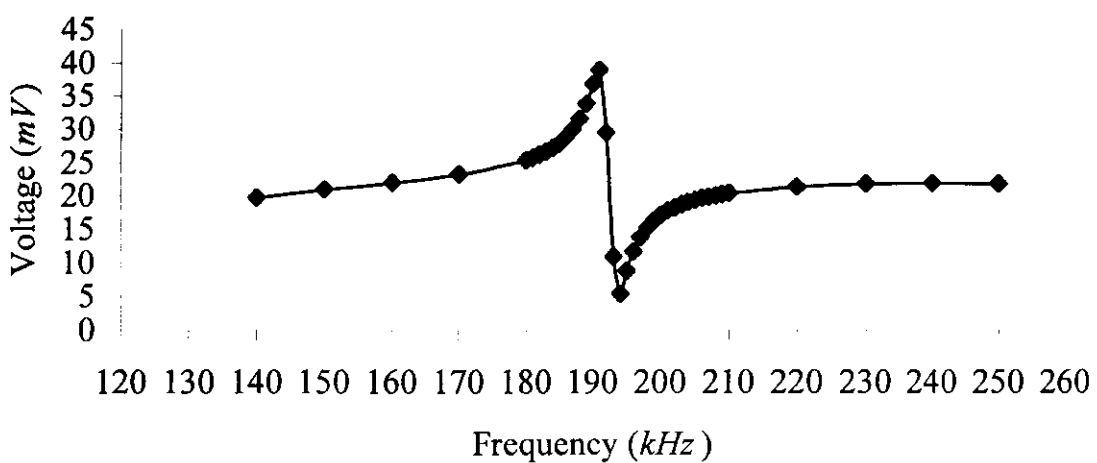


ภาพประกอบที่ 4.21 แสดงความสัมพันธ์ระหว่างค่าความถี่กับค่าความต่างศักย์สำหรับ PKI 402 มีค่าความถี่เรโซแนนซ์และแอนติเรโซแนนซ์เท่ากับ  $186$  และ  $194$  kHz ตามลำดับ

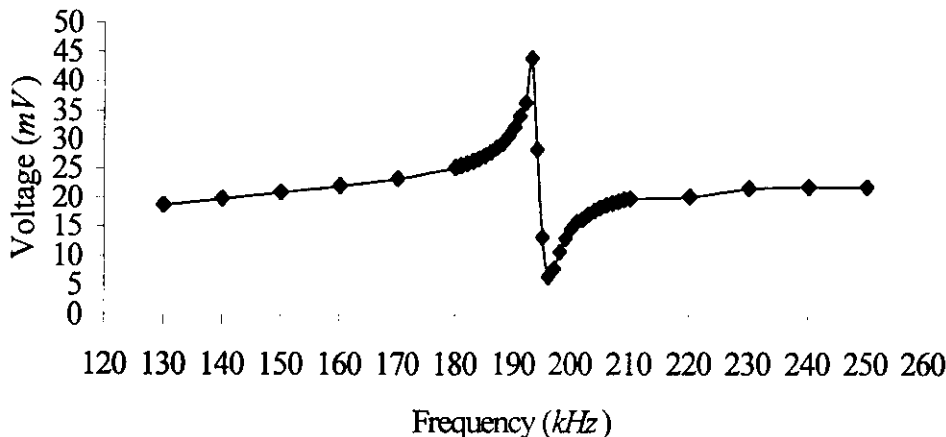
ตรวจสอบค่าความถี่เรโซแนนซ์และแอนติเรโซแนนซ์ของ PZT โดยทำขึ้น PZT ด้วยการเงินและโพลิ่งที่ความเข้มสนามไฟฟ้าเท่ากับ  $3 \text{ kV/mm}$  เป็นเวลา 15 นาที ทิ้งไว้ 24 ชั่วโมง ใช้วงจรดังแสดงในภาพประกอบที่ 3.8 โดยให้สัญญาณไฟฟ้าขนาดต่างๆ แก่ PZT วัดค่าขนาดความต่างศักย์ที่เกิดขึ้นแล้วนำค่าความต่างศักย์และค่าความถี่ เขียนเป็นกราฟความสัมพันธ์แสดงดังภาพประกอบที่ 4.22 4.23 และ 4.24 ตามลำดับ



ภาพประกอบที่ 4.22 แสดงความสัมพันธ์ระหว่างค่าความถี่กับค่าความต่างศักย์ของ PZT ที่อบนีกที่  $1200\text{ }^{\circ}\text{C}$  เป็นเวลา 1 ชั่วโมง มีค่าความถี่เรโซแนนซ์และแอนติเรโซแนนซ์เท่ากับ  $173$  และ  $175\text{ }kHz$  ตามลำดับ



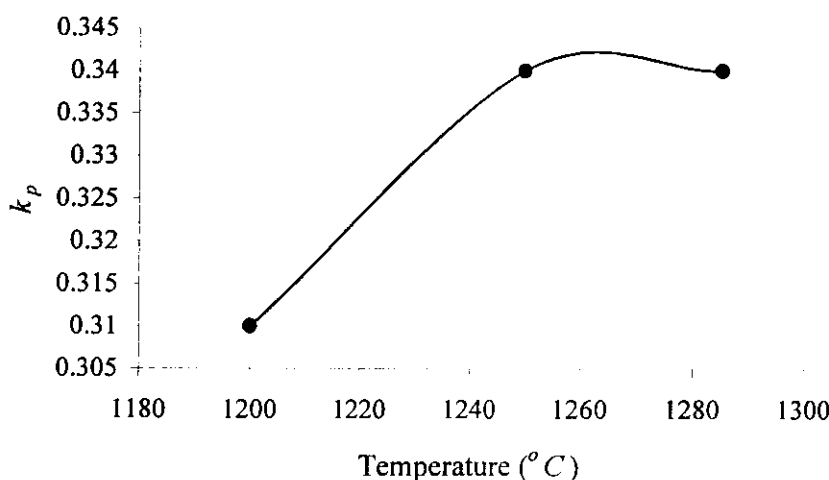
ภาพประกอบที่ 4.23 แสดงความสัมพันธ์ระหว่างค่าความถี่กับค่าความต่างศักย์ของ PZT ที่อบนีกที่  $1250\text{ }^{\circ}\text{C}$  เป็นเวลา 1 ชั่วโมง มีค่าความถี่เรโซแนนซ์และแอนติเรโซแนนซ์เท่ากับ  $191$  และ  $194\text{ }kHz$  ตามลำดับ



ภาพประกอบที่ 4.24 แสดงความสัมพันธ์ระหว่างค่าความถี่กับค่าความต่างศักย์ของ PZT ที่อบนีกที่  $1285^{\circ}\text{C}$  เป็นเวลา 1 ชั่วโมง มีค่าความถี่เรโซแนนซ์และแอนติเรโซแนนซ์เท่ากับ  $193$  และ  $196\text{ kHz}$  ตามลำดับ

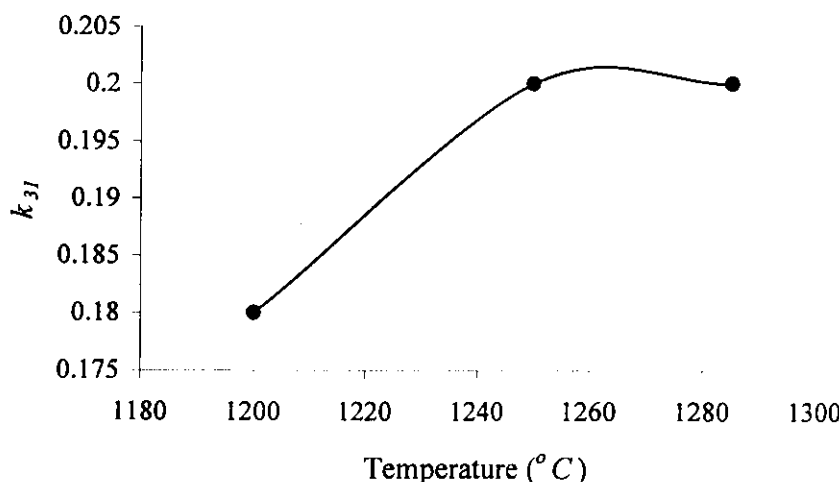
### 2.3 ค่าคัปปิลิงแฟกเตอร์

นำค่าความถี่เรโซแนนซ์และค่าความถี่แอนติเรโซแนนซ์ จากภาพประกอบที่ 4.20 4.21 และ 4.22 ตามลำดับ คำนวณค่าพลา нарคัปปิลิงแฟกเตอร์ โดยใช้สมการที่ (2.17) และแสดงค่าดังภาพประกอบที่ 4.25



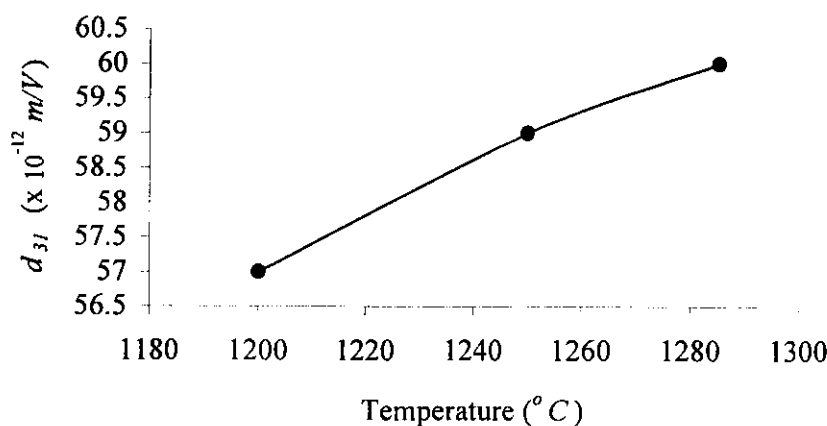
ภาพประกอบที่ 4.25 แสดงความสัมพันธ์ของค่าพลา нарคัปปิลิงแฟกเตอร์กับอุณหภูมิอบผนึก

นำค่าพานาร์คัปปัลิงแฟกเตอร์ค่านวนค่าคัปปัลิงแฟกเตอร์  $k_{3I}$  โดยใช้สมการที่ (2.18) ซึ่งแสดงความสัมพันธ์กับอุณหภูมิอบผนึกดังภาพประกอบที่ 4.26



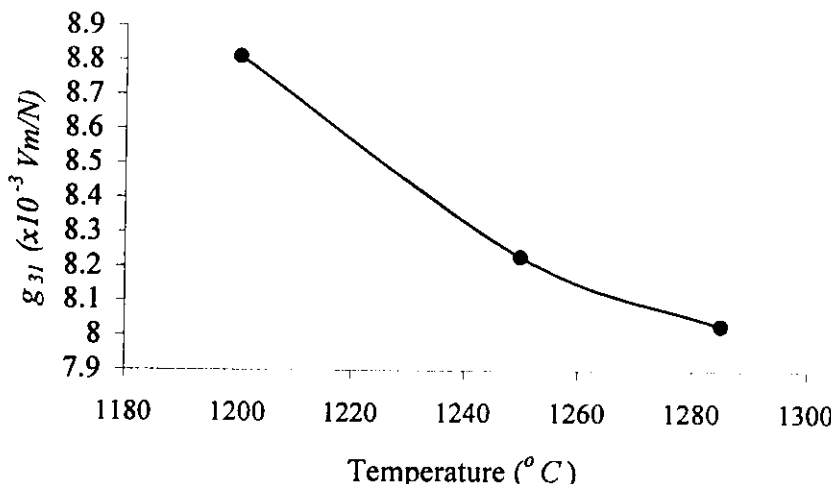
ภาพประกอบที่ 4.26 แสดงความสัมพันธ์ของค่าคัปปัลิงแฟกเตอร์  $k_{3I}$  กับอุณหภูมิอบผนึก

ค่านวนค่าคงที่ไโพโซอิเล็กทริก โดยใช้สมการ (2.22) ซึ่งแสดงความสัมพันธ์กับอุณหภูมิอบผนึกต่างๆ แสดงดังภาพประกอบที่ 4.27



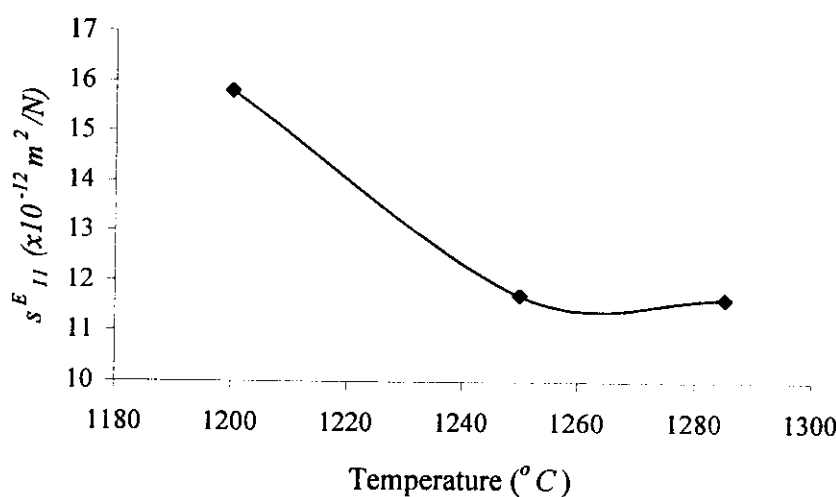
ภาพประกอบที่ 4.27 แสดงความสัมพันธ์ของค่าคงที่ไโพโซอิเล็กทริก  $d_{3I}$  กับอุณหภูมิอบผนึก

คำนวณค่าคงที่ไโพอิโซอิเล็กทริก โดยใช้สมการ (2.23) ซึ่งแสดงความสัมพันธ์กับอุณหภูมิอบผนึกต่างๆ แสดงดังภาพประกอบที่ 4.28



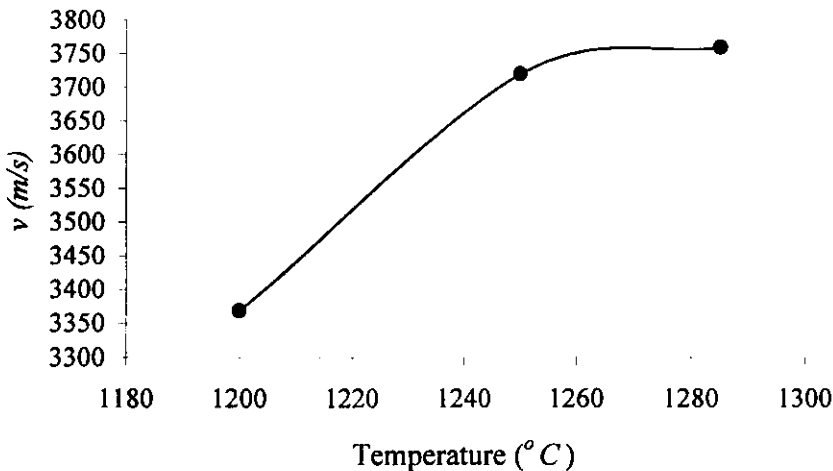
ภาพประกอบที่ 4.28 แสดงความสัมพันธ์ของค่าคงที่ไโพอิโซอิเล็กทริก  $g_{3I}$  กับอุณหภูมิอบผนึก

ค่าคงที่ยึดหยุ่น  $r_{II}^E$  คำนวณโดยใช้สมการที่ (2.19) ซึ่งแสดงความสัมพันธ์กับอุณหภูมิอบผนึกดังภาพประกอบที่ 4.29



ภาพประกอบที่ 4.29 แสดงความสัมพันธ์ของค่าคงที่ยึดหยุ่น  $r_{II}^E$  กับอุณหภูมิอบผนึกต่างๆ

ค่าความค่าความเร็วเสียงในวัสดุ PZT โดยอาศัยปรากฏการณ์เรโซแนนซ์ในวัสดุ PZT และใช้สมการที่ (2.21) ซึ่งค่าที่ค่าความสัมพันธ์ของค่าความเร็วเสียงใน PZT กับอุณหภูมิอนพนึกต่างๆ



ภาพประกอบที่ 4.30 แสดงความสัมพันธ์ของค่าความเร็วเสียงใน PZT กับอุณหภูมิอนพนึกต่างๆ

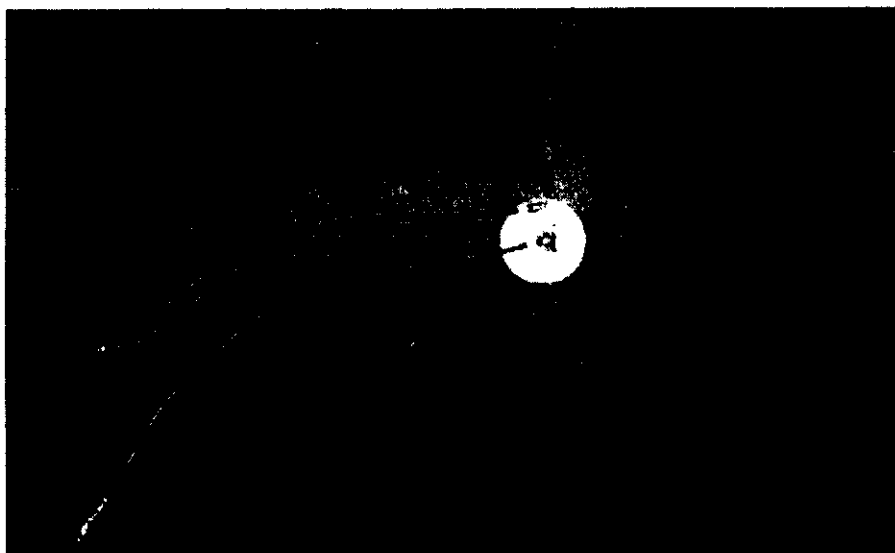
จากการนำค่าความถี่เรโซแนนซ์และแอนติเรโซแนนซ์ มาใช้คำนวณค่าพลานาร์คัปปลิงเฟกเตอร์ ค่าคัปปลิงเฟกเตอร์  $k_{31}$  ค่าคงที่ไฟอิเล็กทริก  $d_{31}$  และค่าความเร็วเสียงใน PZT พบว่ามีค่าเพิ่มขึ้นเมื่ออุณหภูมิในการอบผนึกสูงขึ้น แต่ค่าคงที่ไฟอิเล็กทริก  $g_{31}$  และค่าคงที่ยึดหยุ่น  $r_{11}^E$  ค่ามีค่าลดลง เมื่ออุณหภูมิในการอบผนึกสูงขึ้นซึ่งสอดคล้องกับงานวิจัยของ Nam และ Lee (1992)

นอกจากค่า  $d_{31}$  ซึ่งเป็นค่าการ obed ภายในแนวค้านข้าง ขั้งสามารถนำไปหาค่า  $d_{33}$  ซึ่งบอกถึงการ obed ภายในแนวความหนาได้ นั้นคือ  $d_{31} = -\frac{1}{2}d_{33}$  (Cady, 1964) ดังนั้น  $d_{33}$  ของ PZT ที่ 1200 1250 และ 1285 °C เป็นเวลา 1 ชั่วโมง เท่ากับ 114 118 และ 120 pm/V ตามลำดับ

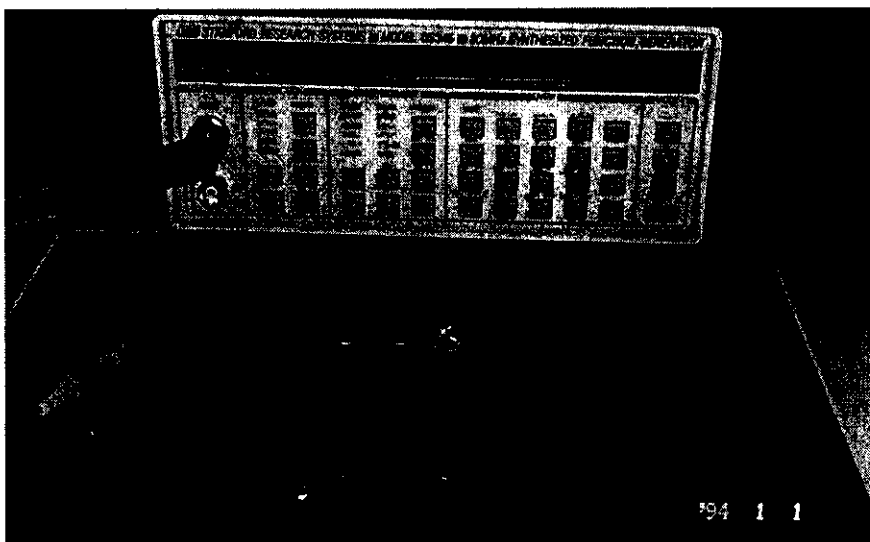
ผลจากการตรวจสอบสมบัติทางไฟฟ้าของ PZT ที่เตรียมขึ้นพบว่ามีค่าคงที่ไฟอิเล็กทริกไม่สูงนัก ค่าคงที่ไฟอิเล็กทริกความเครียดต่ำกว่าของ PZT ที่เป็นผลิตภัณฑ์ทางการค้าทั่วๆ ไป มีค่าคงที่ไฟอิเล็กทริกความเค้นค่อนข้างสูง ไม่เข้ากับอุณหภูมิอนพนึก พิจารณาค่าคงที่ไฟอิเล็กทริก กับอุณหภูมิกับพบว่าในช่วง 100 ถึง 300 °C ซึ่งต่ำกว่าอุณหภูมิคริศต่าคงที่ไฟอิเล็กทริก มีการเปลี่ยนแปลงอย่างมากแต่มีอิทธิพลน้อยมาก เมื่อให้อุณหภูมิเท่ากับอุณหภูมิคริศต์ของ PZT จะทำให้มีค่าไฟอิเล็กทริกสูงสุด ทั้งนี้ค่าอุณหภูมิคริศต์ของ PZT มีค่าเฉลี่ย 381 °C ดังนั้น PZT ที่เตรียมได้จะอยู่ในกลุ่มที่มีการสั่นเชิงกล ได้ดี และสามารถควบคุมความถี่ของการสั่นได้

## 6. การทำเป็นชิ้นงาน

นำ PZT ที่ได้จากการเตรียมแบบปฏิกริยาตรงและผ่านการอบผนึกที่อุณหภูมิ  $1285^{\circ}\text{C}$  1 ชั่วโมง สร้างเป็นตัวกำเนิดเสียง ดังแสดงในภาพประกอบที่ 4.31 โดยที่ใช้สารตัวอ่อน PZT ที่มีลักษณะรูปแผ่นกลมแบบที่มีขนาดเส้นผ่าศูนย์กลาง  $11.7\text{ mm}$  ความหนา  $0.4\text{ mm}$  ใช้แผ่นทองเหลืองเป็นฐานรองรับทำขึ้น และโพลิจิตัวขับค่าความเข้มสนามไฟฟ้าคงคล่องในหัวข้อที่ 2.2



ภาพประกอบที่ 4.31 ตัวกำเนิดเสียงซึ่งมี PZT เป็นส่วนประกอบหลัก



ภาพประกอบที่ 4.32 แสดงลักษณะการตรวจสอบการตอบสนองตอบสัญญาณไฟฟ้า

จากภาพประกอบที่ 4.28 แสดงลักษณะการตรวจสอบการตอบสนองต่อสัญญาณไฟฟ้าสำหรับชิ้นงานที่ประดิษฐ์ขึ้น โดยให้สัญญาณความถี่ตั้งแต่  $0.5\text{ Hz}$  ถึง  $30\text{ MHz}$  ซึ่งไม่ก่อให้เกิดความเสียหายต่อชิ้นงาน และพบว่าเมื่อให้สัญญาณไฟฟ้าในช่วงความถี่ตั้งแต่  $1\text{-}12\text{ kHz}$  ชิ้นงานเกิดการยืดหดและมีเสียงดังที่หูมนุษย์สามารถได้ยิน (audible sound) ซึ่งหมายความว่าสำหรับทำเป็นแหล่งกำเนิดเสียงในเครื่องส่งเสียงเตือน (alarm) เครื่องคิดเลข (calculator) เป็นต้น ในช่วงความถี่ต่ำกว่า  $1\text{ kHz}$  เป็นช่วงความถี่ที่หูมนุษย์ไม่สามารถได้ยิน เราสามารถนำช่วงความถี่นี้ใช้สำหรับการไล่สัตว์ขนาดเล็ก เช่น บุ้ง แมลงสาบ เป็นต้น และที่ความถี่สูงกว่า  $12\text{ kHz}$  ซึ่งเป็นความถี่อัลตราโซนิก (ultrasonic frequency) ซึ่งช่วงความถี่นี้จะหมายความว่าสำหรับการนำมาประยุกต์ใช้งานในวงการแพทย์และวิศวกรรม

อย่างไรก็ตามนอกจากเรื่ององค์ประกอบทางเคมี กระบวนการผลิตที่ใช้ แนวแกนของวัสดุที่ใช้ในการวัดค่าต่างๆ แล้ว เรื่องของรูปร่างและความหนาแน่นของวัสดุก็เป็นตัวแปรที่มีบทบาทต่อพฤติกรรมหรือสมบัติของวัสดุ ไฟอิเล็กทริกที่ต้องพิจารณาด้วย